



ساخت لایه‌ی نازک بیسموت تیتانات ($\text{Bi}_4\text{Ti}_3\text{O}_{12}$) به روش سل‌ژل و بررسی خواص ساختاری و اپتیکی آن

سینا رنجبر^{*}، محمود رضایی رکن‌آبادی، محمد بهدانی

گروه فیزیک، دانشکده علوم، دانشگاه فردوسی مشهد

(دریافت مقاله: ۹۵/۲/۲۱، نسخه نهایی: ۹۵/۶/۱۸)

چکیده: سرامیک‌های بیسموت تیتانات به دلیل ویژگی و کاربردهای قابل توجه شده و سپس با استفاده از اسپین کوتینگ روی بستری از شیشه لایه نشانی شده و سپس به بررسی ویژگی ساختاری و اپتیکی آن پرداخته شد. بدین منظور نخست سل اولیه با نسبت‌های مولی معین تهیه شد. پس از مخلوط کردن مواد اولیه و هم زدن آن با استفاده از روش سل‌ژل، سل ایجاد شده به روش پوشش اسپینی روی بستر شیشه‌ای با سرعت مشخص نشانده شد. به منظور بررسی نوع فازها از طرح پراش پرتو X، ریخت‌شناسی پوشش میکروسکوپ الکترونی روبشی (SEM) و در تعیین خواص اپتیکی لایه‌ی نازکی از طیف‌های اپتیکی جذبی و تراگسیلی به روش سان و پل استفاده شد که در گستره‌ی نور مرئی عبوری بالای حدود ۸۵٪ بوده است. اندازه شکاف نواری محاسبه شده، $3/37 \text{ ev}$ بوده است.

واژه‌های کلیدی: سل‌ژل؛ بیسموت تیتانات؛ لایه‌ی نازک؛ پوشش اسپینی.

هشت است و یا عددی کسری مانند $(1/2, 3/4, 2/3, \dots)$ است.

در ترکیب تیتانات بیسموت با فرمول شیمیایی $(\text{Bi}_4\text{Ti}_3\text{O}_{12})_m$ ، $A = \text{Bi}$ ، $B = \text{Ti}$ و $m = 3$ است [۴].

اریولیوس نخستین بار برای لایه اکسید بیسموت یک ساختار چارگوشی یا شبه چارگوش را پیش‌بینی کرد [۵]. تحقیقات بعدی نشان داد که بیشتر ترکیبات اریولیوس دارای ساختار راستلوزی در فاز فروالکتریک هستند [۶]. بیسموت تیتانات شبیه فازهای دیگر اریولیوس نیست بلکه یک ترکیب دارای ساختار راستلوزی و ابعاد سلول واحد در این ساختار زیاد و دمای کوری بالا (بین 550 تا 650 درجه

مقدمه

اکسیدهای فروالکتریک به طور گسترده‌ای با توجه به ویژگی فروالکتریکی، الکترواپتیکی و نیز ضریب دیالکتریک بالا در میکرو الکترونیک، سنسورها، خازن‌ها و ... مورد استفاده قرار می‌گیرند [۲-۱]. بیسموت تیتانات $(\text{Bi}_4\text{Ti}_3\text{O}_{12})_m$ ماده‌ای فروالکتریک است که اولین بار در سال ۱۹۴۹ میلادی به وسیله اریولیوس و فانگ کشف شد [۳]. این دسته از مواد فروالکتریک که به فروالکتریک‌های گروه اریولیوس یا فروالکتریک‌های شامل لایه‌ی بیسموت شهرت یافته که با فرمول کلی زیر مشخص می‌شوند:

$$\text{A}_{m-1}\text{Bi}_2\text{B}_m\text{O}_{3m+3} = (\text{Bi}_2\text{O}_2)^{2+}(\text{A}_{m-1}\text{B}_m\text{O}_{3m+1})^{2-} \quad (1)$$

که در این فرمول A کاتیون یک، دو یا سه ظرفیتی با شعاع یونی بزرگ مثل $(\text{Bi}^{3+}, \text{Pb}^{2+}, \text{Ca}^{2+}, \text{Ba}^{2+}, \text{K}^+)$ است. همچنین B کاتیونی با شعاع یونی کوچک مثل $(\text{W}^{6+}, \text{Ti}^{4+}, \text{Nb}^{5+}, \text{Fe}^{2+})$ است و m عددی صحیح از یک تا

*نویسنده مسئول، تلفن: ۰۹۳۵۳۳۷۱۹۵۵، پست الکترونیکی: sina.ranjbar70911@gmail.com

۳۰۰ درجه سانتیگراد به مدت ۱۰ دقیقه قرار داده شدند تا حلال‌ها و مواد آلی تبخیر شوند. این لایه نشانی را ۱۰ بار به منظور رسیدن به ضخامت دلخواه تکرار کردیم. در مرحله نهایی نمونه ساخته شده در دماهای ۶۰۰ درجه سانتیگراد به مدت ۱ ساعت در کوره باز پخت شد.

خواص ساختاری لایه‌ها به وسیله‌ی پراش‌سنجد پرتو ایکس 8-Advance Bruker CuK α 1 $\lambda = 0.15406\text{nm}$ با مدل ۱۴۵۰ VP اندازه‌گیری شد. میکروسکوپ الکترونی روبیشی مدل ۱۸۰۰ Shimadzu همچنین خواص اپتیکی لایه‌ها با استفاده از UV-Visible

اندازه گیری شدند.

بحث و برداشت

به منظور شناسایی فاز لایه‌ی نازک بیسموت تیتانات از طرح پراش پرتو ایکس بهره گرفتیم. شکل ۲ بیانگر الگوی پراش پرتو X لایه نازک بیسموت تیتانات است که در دماهای ۶۰۰ درجه سانتیگراد به مدت ۱ ساعت بازیخت شد. الگوی پراش مؤید تشکیل فاز بلوری $\text{Bi}_4\text{Ti}_3\text{O}_{12}$ با ساختار راست‌لوزی با $a = 5.44 \text{\AA}$, $b = 32.81 \text{\AA}$, $c = 5.41 \text{\AA}$. در دمای 600°C علاوه بر فاز اصلی پروسکایت، فاز [۱۰]. اضافی پیروکلر دیده می‌شود. با توجه به رابطه‌ی شر [۱۱] (رابطه‌ی ۲) و قله‌ی اصلی فاز ایجاد شده در صفحه [۱۱۷]، می‌توان به اندازه بلورک‌های ایجاد شده در لایه نازک پی‌برد.

$$D = 0.9\lambda/\beta\cos\theta \quad (2)$$

که در این رابطه λ طول موج پرتو ایکس به کار برده شده، β پهنه‌ای نصف بیشینه‌ی قله‌ی اصلی (FWHM) و θ زاویه پراش پرتو ایکس است. بنابر این رابطه، اندازه بلورک‌ها برای لایه نازک بیسموت تیتانات در دمای 600°C حدود ۱۶ نانومتر محاسبه شد.

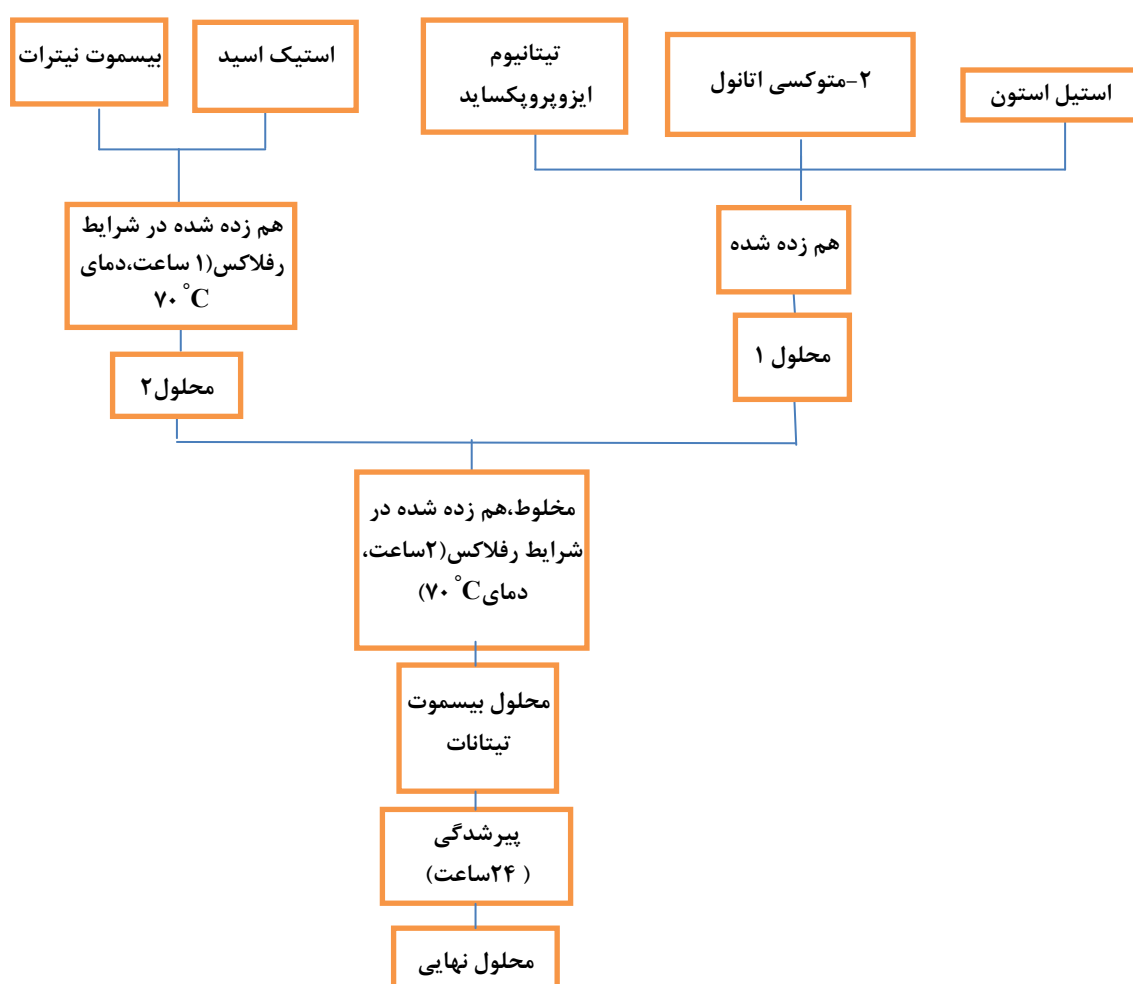
سلسیوس) از سرامیک‌های پیزوالکتریک مهم باشند [۸]. ساخت لایه‌های نازک فرووالکتریک به سه روش اصلی انجام می‌شود که عبارتند از: لایه‌نشانی بخار فیزیکی، لایه نشانی بخار شیمیایی، سل-ژل. از لایه‌های نازک فرووالکتریک به منظور بهره‌برداری از خواص منحصر به فرد الکتروپاتیکی، پیزوالکتریکی و پیزوالکتریک استفاده می‌شود [۹]. در این پژوهش لایه‌های نازک BIT را روی بستر شیشه‌ای با روش سل-ژل تهیه کردیم. همچنین خواص اپتیکی و ساختاری لایه‌ها نازک BIT مورد بررسی قرار گرفتند.

شرح روش کار

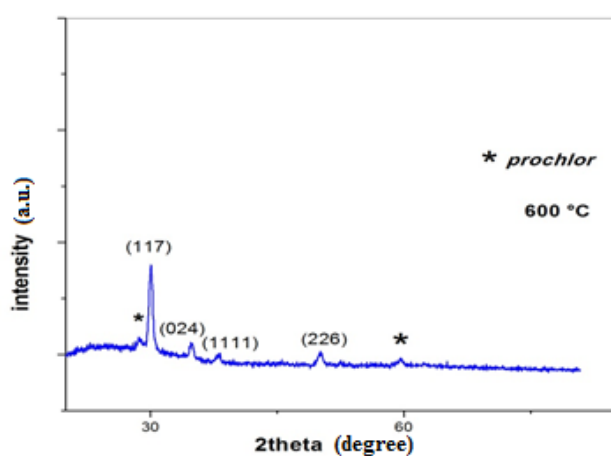
ترکیبات مورد استفاده در ساخت نمونه‌ی لایه نازک بیسموت تیتانات در این پژوهش در جدول ۱ ذکر شده است: به منظور تهیه سل اولیه، بیسموت نیترات در استیک اسید گلاسیال با نسبت مولی مشخص حل شده و به مدت ۱ ساعت در دمای ۷۰ درجه سانتیگراد با هم زن مغناطیسی در شرایط بازتابی هم زده می‌شود. پس از حل شدن کامل نیترات بیسموت در استیک اسید یخچالی سل اولیه تا دمای اتفاق سرد شد. سپس به صورت جدآگانه سل ثانویه را از حل کردن تیتانیوم ایزوپروپکساید در ۲-متوكسی اتانول تهیه کردیم در این مرحله مقداری استیل استون به عنوان پایدار کننده به محلول اضافه شد. سپس سل ثانویه را به سل اولیه اضافه کردیم و محلول نهایی به مدت ۲ ساعت در شرایط بازتابی در هم زن مغناطیسی هم زده می‌شود تا سل نهایی زرد شفافی حاصل شود. غلظت نهایی محلول $M_{0.2}$ است. در شکل ۱ به صورت نمایی مراحل ساخت سل بیسموت تیتانات نشان داده شده است. سپس این محلول روی بسترهای شیشه‌ای که از قبل آماده شده بودند به روش پوشش خار مانند لایه‌نشانی شدند. سرعت لایه نشانی ۳۰۰۰ دور در دقیقه و مدت آن ۳۰ ثانیه انتخاب شد. پس از هر مرحله لایه نشانی، لایه‌ها در دمای

جدول ۱ ترکیبات مورد استفاده برای ساخت سل بیسموت تیتانات

نام ماده	فرمول شیمیایی	مشخصات وزنی	درصد خلوص
تیتانیوم ایزوپروپکساید	$\text{C}_{12}\text{H}_{28}\text{O}_4\text{Ti}$	gr/mol ۲۸۴.۲۱۵	٪۹۹.۹
بیسموت نیترات	$\text{Bi}_5\text{H}_9\text{N}_4\text{O}_{22}$	gr/mol ۱۴۶۱.۹۹	٪۹۹.۹
استیک اسید گلاسیال	$\text{C}_2\text{H}_4\text{O}_2$	g/cm ^۳ ۱.۰۵	٪۹۹.۹
۲-متوكسی اتانول	$\text{C}_3\text{H}_8\text{O}_2$	g/cm ^۳ ۰.۹۶۵	٪۹۹.۹
استیل استون	$\text{C}_5\text{H}_8\text{O}_2$	g/cm ^۳ ۰.۹۸	



شکل ۱ طرح شماتیک مراحل ساخت سل بیسموت تیتانات.



شکل ۲ طرح پراش پرتو X لایه نازک بیسموت تیتانات باز پخت شده در دمای ۶۰۰ درجه سانتیگراد به مدت ۱ ساعت.

شده در دمای ۶۰۰ درجه سانتیگراد است. چنانکه از تصاویر SEM برداشت می‌شود، لایه نانو ساختار بوده و از یکنواختی

شکل ۳ نشان دهنده تصویر SEM پوشش نانو ساختار لایه‌ی نازک بیسموت تیتانات روی زیر لایه‌ی شیشه‌ای بازپخت

و ضریب دی الکتریک از روش سان پل استفاده کردیم [۱۲]. ضریب شکست، n ، لایه‌ی نازک بیسیمومت تیتانات در ناحیه‌ی تداخلی با استفاده از روش سان پل بدست می‌آید [۱۲].

$$n = [N^2 + (N^2 - s^2)^{1/2}]^{1/2} \quad (3)$$

$$N = 2sT + s^2 + 1/2 \quad (4)$$

که s ضریب شکست زیر لایه و T برابر است با

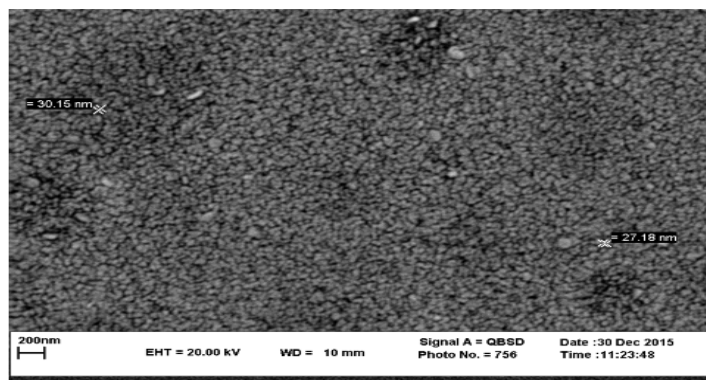
$$T = T_{\max} - T_{\min} / T_{\max} T_{\min} \quad (5)$$

در شکل ۵ تغییرات ضریب شکست با طول موج در گستره‌ی ۴۰۰-۸۰۰ نانومتر نشان داده شدند، تغییر ضریب شکست با طول موج برای لایه‌های نازک ساخته شده در دمای مختلف در شکل ۵ نشان داده شد. به طور کلی می‌توان گفت که با افزایش طول موج ضریب شکست لایه‌ها کاهش می‌یابد، همچنین بیشترین مقدار ضریب شکست مربوط به طول موج ۴۱۰ نانومتر است که مقدار آن را ۲۵۰۷ نشان می‌دهد که با مقادیر ضریب شکست در لایه‌ها همخوانی خوبی با گزارشات مشاهده شده دارد [۱۳].

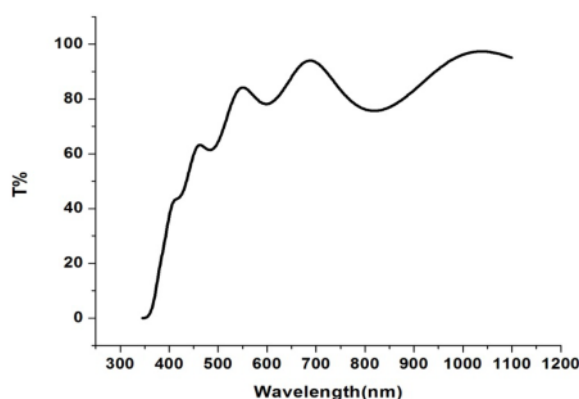
خوبی برخوردار است، و اندازه‌ی ذرات برای نمونه بیسیمومت تیتانات حدود ۳۰ نانومتر است.

به منظور بررسی خواص اپتیکی لایه‌ی نازک بیسیمومت تیتانات، از بیناب تراگسیل به وسیله‌ی بیناب‌سنجد استفاده شد. شکل ۴ بیناب تراگسیلی لایه‌ی نازک بیسیمومت تیتانات را در طول موج‌های مختلف نشان می‌دهد. با استفاده از این نمودار می‌توان اطلاعات زیادی در مورد ویژگی‌های اپتیکی مانند ضریب جذب، ضریب شکست در طول موج‌های مختلف به دست آورد [۱۲].

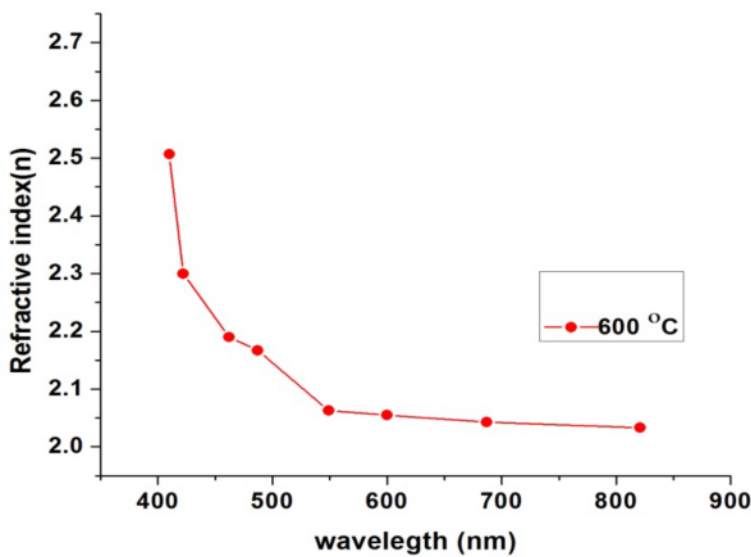
شکل ۴ نشان می‌دهد که لایه‌ی نازک ساخته شده دارای خاصیت عبوری بالا و قله‌های تداخلی است که دلالت بر یکنواختی بالای آن دارد [۱۳]. همچنین نشان می‌دهد که در گستره‌ی نور مرئی دارای عبور بالا در حدود ۸۵٪ است که همخوانی خوبی با دستاوردهای مشابه دارد [۱۴]. همچنین با استفاده از این نمودار به دلیل داشتن نقاط بیشینه و کمینه‌ی مشخص، می‌توان پارامترهای اپتیکی را محاسبه کرد. در این پژوهش برای محاسبه‌ی پارامترهای اپتیکی مانند ضریب جذب



شکل ۳ تصویر SEM لایه نازک بیسیمومت تیتانات باز پخت شده در دمای ۶۰۰ درجه سانتیگراد.



شکل ۴ طیف عبوری لایه نازک بیسیمومت تیتانات بازپخت شده در دمای ۶۰۰ درجه سانتیگراد.



شکل ۵ تغییرات ضریب شکست با طول موج برای لایه نازک بیسموت تیتانات در دمای ۶۰۰ درجه سانتیگراد.

$$k = \alpha\lambda/4\pi \quad (8)$$

که شکل ۷ نشان دهنده‌ی ضریب خاموشی لایه نازک بر حسب طول موج. مقدار k برای لایه‌ی نازک مقدار کوچکی است که این مقدار برای طول موج‌های کوچک به سرعت افزایش می‌یابد. که ممکن است ناشی از پراکندگی باشد. همچنین با محاسبه‌ی n و k می‌توان بخش حقیقی و موهمی ثابت دی الکتریک ϵ_1 و ϵ_2 را محاسبه کرد. برای محاسبه از روابط زیر استفاده شد.

$$\epsilon_1 = n^2 - k^2 \quad (9)$$

$$\epsilon_2 = 2nk \quad (10)$$

تغییرات ϵ_1 بر حسب انرژی فوتون برای لایه نازک بیسموت تیتانات بازپخت شده در دمای مختلف در شکل ۸ نشان داده شده است. بخش حقیقی تابع دی الکتریک روند افزایشی را با افزایش انرژی نشان می‌دهد. بخش حقیقی در طول موج‌های بلند تغییرات خطی کمی دارد، ولی در ناحیه‌ی جذب و در طول موج‌های کوتاه‌تر به دلیل برهم‌کنش شدید بین الکترون و فوتون این تغییرات بیشتر است. اندازه‌ی بخش حقیقی تابع دی الکتریک از بخش موهمی آن بیشتر است. این عده‌ها نشان دهنده‌ی این است که نمونه‌های ساخته شده، دی الکتریک خوبی هستند [۱۵].

از طرف دیگر ضخامت نمونه با استفاده از رابطه‌ی (۶) برای دو بیشینه‌ی مجاور (و یا دو کمینه‌ی مجاور) محاسبه شد.

$$d = \lambda_1 \lambda_2 / 2(\lambda_1 n_2 - \lambda_2 n_1) \quad (6)$$

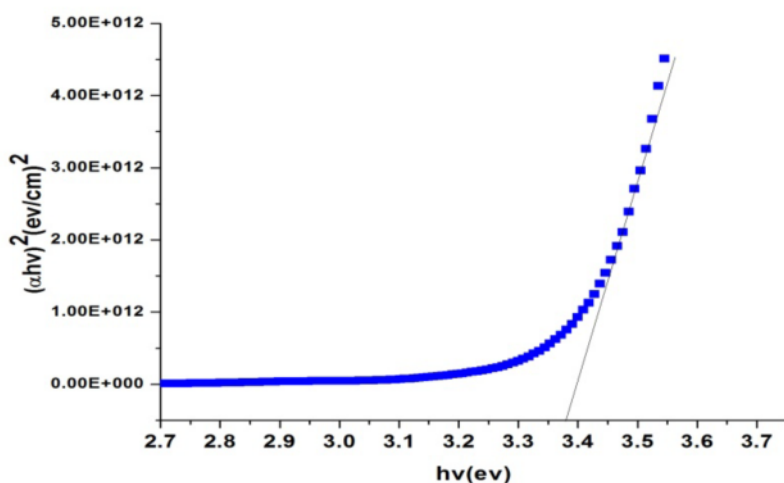
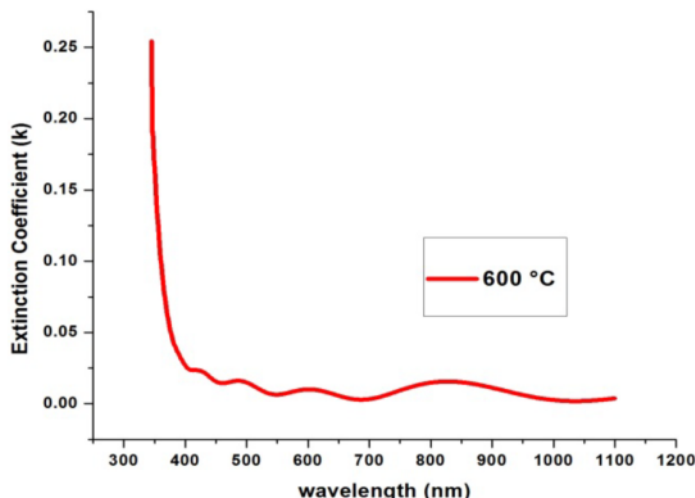
ضخامت نمونه‌ها با استفاده از معادله‌ی ۶ اندازه‌گیری شد که برای لایه‌ی نازک بیسموت تیتانات در دمای ۶۰۰ °C برابر nm ۵۰۸ را نشان می‌دهد. از دیگر پارامترهای مهمی که از طیف عبوری قابل محاسبه است می‌توان به گاف نواری اشاره کرد که از برونیابی نمودار $(\alpha h\nu)^2$ بر حسب $h\nu$ محاسبه شد. با فرض کوچک بودن انرژی فوتون‌ها نسبت به فوتون‌های فروندی ($h\nu$)، رابطه‌ی ضریب جذب و گاف نواری به صورت زیر است:

$$\alpha h\nu = B(h\nu - E_g)^r \quad (7)$$

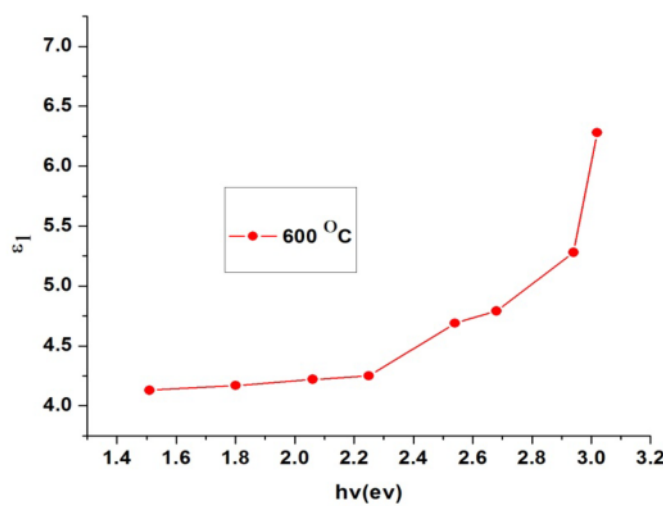
در این رابطه B ، ثابتی مستقل از انرژی، E_g گاف نواری اپتیکی و r ثابتی است که مشخص کننده‌ی نوع گذار اپتیکی است، و مقدار آن برای گذار مستقیم برابر ۲ و برای گذار غیر مستقیم برابر است با 0.5 . در شکل ۶ گاف نواری اپتیکی لایه‌ی نازک بیسموت تیتانات داده شده است.

مشاهده می‌شود گاف نواری اپتیکی لایه نازک بیسموت تیتانات نشان داده شده است. این گاف نواری برابر است با ۳۳۷ ev شد. که توافق خوبی با کارهای انجام شده دارد [۱۶، ۱۵].

ضریب خاموشی لایه‌ها با استفاده از رابطه‌ی زیر بدست می‌آید:

شکل ۶ منحنی تغییرات $(\alpha h v)^2$ بر حسب $h v$ 

شکل ۷ نمایش ضریب خاموشی بر حسب طول موج برای لایه نازک بیسیمومت تیتانات

شکل ۸ نمودار تغییرات ϵ_1 بر حسب انرژی فوتون برای لایه‌ی نازک بیسیمومت تیتانات در دماهای مختلف.

- [4] Yao W. F., Wang H., Xu X. H., Cheng X. F., Huang J., Shang S. X., Wang M., "Photocatalytic property of bismuth titanate $\text{Bi}_{12}\text{TiO}_{20}$ crystals", *Applied Catalysis A: General*, 243(1) (2003) 185-190.
- [5] Aurivillius B., "Dielectric relaxation in layered oxides of the Aurivillius phase family", *Ark kemi*, 1 (1949) 463.
- [6] Subbarao E. C., "Ferroelectricity in $\text{Bi}_4\text{Ti}_3\text{O}_{12}$ and its solid solutions", *Physical Review*, 122(3) (1961) 804.
- [7] Rae A. D., Thompson J. G., Withers R. L., Willis A. C., "Structure refinement of commensurately modulated bismuth titanate, $\text{Bi}_4\text{Ti}_3\text{O}_{12}$." *Acta Crystallographica Section B: Structural Science*, 46(4) (1990) 474-487.
- [8] W.A.S S.L. Swartz, Biggers J.V., ferroelectrics, 38 (1981) 765
- [9] Safari R. K. P. a. V. F. J. A., "Ferroelectric ceramics: Processing, properties and applications", *J Am Ceram Soc*, vol. 92(4), pp. 626-720, (2007).
- [10] Madeswaran S., Giridharan N. V., Jayavel R., "Sol-gel synthesis and property studies of layered perovskite bismuth titanate thin films", *Materials chemistry and physics*, 80(1) (2003) 23-28.
- [11] Patterson A. L., "The Scherrer formula for X-ray particle size determination", *Physical review*, 56(10) (1939) 978.
- [12] Swanepoel R., "Determination of surface roughness and optical constants of inhomogeneous amorphous silicon films", *Journal of Physics E: Scientific Instruments*, 17(10) (1984) 896.
- [13] Jia C. H., Chen Y. H., Zhang W. F., "Optical properties of aluminum-, gallium-, and indium-doped $\text{Bi}_4\text{Ti}_3\text{O}_{12}$ thin films" (2009).
- [14] Chia W. K., Chen Y. C., Yang C. F., "Electrical and Optical Characteristics of $\text{Bi}_4\text{Ti}_3\text{O}_{12}$ Thin Film on Indium-Tin-Oxide/Glass", *Japanese journal of applied physics*, 45(6R) (2006) 5087.

برداشت

در این پژوهش ساخت لایه‌ی نازک بیسموت تیتانات و خواص ساختاری و اپتیکی آن بررسی شدند. طرح پراش پرتو ایکس نشان می‌دهد که لایه‌های نازک بیسموت تیتانات دارای ساختار اورتورومبیک است و با استفاده از رابطه‌ی شرر اندازه بلورکها برای دمای ۶۰۰ درجه‌ی سانتیگراد حدود ۱۶ نانومتر محاسبه شد. از تصاویر SEM نتیجه می‌شود که برای نمونه‌ی بیسموت تیتانات سطح دارای یکتواختی خوبی است و نیز اندازه ذرات در گستره‌ی ۳۰-۲۵ نانومتر برای نمونه‌ی بیسموت تیتانات تغییر می‌کند. بیناب عبوری در دمای مختلف برای لایه نازک بیسموت تیتانات نشان دهنده این است، نمونه در گستره‌ی ۶۰۰ مرئی شفاف است. مقدار گافنواری محاسبه شده در دمای ۳۳۷ درجه‌ی سانتیگراد ۳/۳۷ ev محسوبه شد. مقدار ضریب شکست (n) و ضخامت لایه‌ها از روش سان پل محاسبه شدند، و مشاهده شد که ضریب شکست با افزایش طول موج کاهش می‌یابد. مقادیر ضریب خاموشی و تابع دی الکتریک برای لایه نازک بیسموت تیتانات در دمای ۶۰۰ درجه‌ی سانتیگراد اندازه-گیری شد و بخش حقیقی تابع دی الکتریک بر حسب انرژی فوتون رسم شد که با افزایش انرژی مقدار بخش حقیقی افزایش می‌یابد. همچنین این مقادیر تابع دی الکتریک نشان دهنده این است، که نمونه‌ها دارای خاصیت دی الکتریکی خوبی هستند.

مراجع

- [1] Scott J. F., "Applications of modern ferroelectrics", *science* 315 (5814) 954-959.
- [2] Zhang W. F., Zhang M. S., Yin Z., Gu Y. Z., Du Z. L., Yu B. L., "Large third-order optical nonlinearity in $\text{SrBi}_2\text{Ta}_2\text{O}_9$ thin films by pulsed laser deposition. Applied physics letters", 75 (1999) 902.
- [3] Aurivillius B., "Mixed Bismuth Oxides With Layer Lattices. 2. Structure of $\text{Bi}_4\text{Ti}_3\text{O}_{12}$ ". *Arkiv for kemi*, 1(6) (1950) 499-512.

- [16] Cao Z., Ding A., He X., Cheng W., Qiu P., "Optical properties of BNT thin films grown on Pt/Ti/SiO₂/Si (100) substrates by a CSD processing", *Journal of crystal growth*, 270(1) (2004) 168-173.
- [15] Jia C., Chen Y., Ding L., Zhang W., "Effect of incorporating nonlanthanoidal indium on optical properties of ferroelectric Bi₄Ti₃O₁₂ thin films.", *Applied Surface Science*, 253(24) (2007) 9506-9512.